

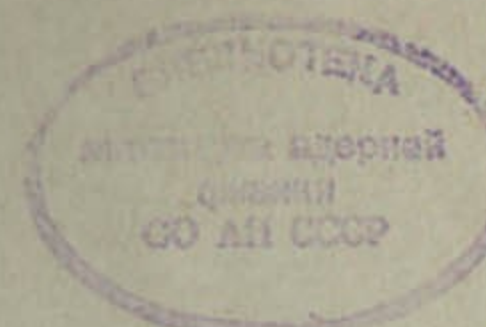
Г-15

ИНСТИТУТ ЯДЕРНОЙ ФИЗИКИ СО АН СССР

А.А.Галеев, В.И.Карпман

✓1

УДАРНЫЕ ВОЛНЫ В ПЛАЗМЕ В СИЛЬНОМ МАГНИТНОМ ПОЛЕ



Новосибирск, 1962 г.

## § I. Введение.

### Аннотация

Рассмотрена ламинарная теория структуры ударных волн в разреженной плазме в сильном магнитном поле.

Показана неустойчивость ламинарной осцилляторной структуры по отношению к рождению хаотических волн.

Получено кинетическое уравнение для взаимодействующих волн. Даются оценки турбулентной ширины ударной волны.

SHOCK IN THE RAREFIED PLASMA IN A STRONG MAGNETIC FIELD.

### ABSTRACTS.

The relationship between the "laminar" and "turbulent" theories of collisionfree plasma shock in a strong magnetic field is considered. The instability of the laminar oscillatory structure against generation of irregular plasma waves is demonstrated. It is derived the kinetic equation for these waves ("quasi-particles"). The "turbulent" shock thickness is estimated.

Как известно, динамика достаточно разреженной плазмы существенно определяется коллективными процессами, возникающими либо благодаря специфическим дисперсионным эффектам, либо вследствие неустойчивостей. Ударные волны в разреженной плазме должны рассматриваться с точки зрения коллективных процессов.

В работе /1/ была получена ламинарная структура фронта ударной волны, распространяющейся поперек магнитного поля в разреженной плазме в сильном магнитном поле ( $\rho \ll H^2/8\pi$ ). В этой работе было показано, что профиль фронта ударной волны носит осцилляторный характер, если частота столкновений электронов с ионами  $\nu_{ei}$ , определяющая джоулееву диссипацию  $x$ , достаточно мала, а именно:

$$\nu_{ei} \ll \frac{c_A}{a(\mathcal{M}-1)}, \quad (I.1)$$

где  $\mathcal{M}$  - число Маха,  $c_A = H^2/4\pi k m_i$  - ионная альфеновская скорость,  $a$  - длина электронной дисперсии

$$a = \frac{c}{\omega_{oe}} = c \sqrt{\frac{m_e}{4\pi n e^2}} \quad (I.2)$$

определяющая ширину уединенной волны, получающейся из ударной, когда частота столкновений исчезает. Ширина фронта ударной волны при условии (I.1) может стать значительно больше длины свободного пробега (если  $\sqrt{\frac{H^2}{8\pi n t}} \ll \frac{m_e}{m_i}$ ), что позволяет рассматривать такую волну как "бесстолкновительную" (именно в таком смысле мы и будем употреблять в дальнейшем этот термин).

Основную роль в формировании структуры фронта бесстолкновительных волн, распространяющихся поперек магнитного поля, играют дисперсионные эффекты, обусловленные инерцией электронов, а основным параметром длины - длина электронной дисперсии (I.2) (подробнее см. /1,2/). Ионные волны, распространяющиеся поперек магнитного поля при частотах  $\omega \ll \sqrt{\omega_o \cdot \omega_i}$ , обладают, как известно, линейным законом дисперсии. Однако, ионная дисперсия начинает играть основную роль для бесстолкновительных ударных волн, распространяющихся не перпендикулярно к магнитному полю даже при очень малых отклонениях от перпендикулярности, а именно,  $\theta \gg \sqrt{\frac{m_e}{m_i}}$ , где  $\theta$  - угол между плоскостью фронта и направлением  $\vec{H}$ .

Структура таких ударных волн при очень малых  $\theta$  ( $\sqrt{\frac{m_e}{m_i}} \ll \theta \ll 1$ ) была рассмотрена ранее в /3/, где показано, что в этом случае осцилляторный профиль коренным образом меняется по сравнению со случаем  $\theta = 0$ .

В § 3 настоящей работы рассматриваются ударные волны, распространяющиеся под любым углом к магнитному полю; кроме  $\theta \leq \sqrt{\frac{m_e}{m_i}}, \frac{\pi}{2} - \theta \ll 1$ . Оказывается, что профиль волны при этом сохраняет основные черты, имеющие место при  $\sqrt{\frac{m_e}{m_i}} \ll \theta \ll 1$ .

В связи с возможностью так называемой "распадной неустойчивости" периодических волн /4/ возникает вопрос об устойчивости осцилляторной структуры бесстолкновительных ударных волн. Соответствующее исследование, излагаемое во второй части, показывает, что осцилляторная структура ударной волны, вообще говоря, неустойчива по отношению к распадам на другие колебания. Для оценки возникшей при этом турбулентности необходимо учитывать взаимодействие между отдельными колебаниями, образующимися при распаде. Это может быть сделано с

х) Другими видами диссипации при  $\rho \ll \frac{H^2}{8\pi}$  можно пренебречь.

помощью полученного в § 4 из уравнений магнитной гидродинамики кинетического уравнения, описывающего "газ волн" с хаотически распределенными фазами. Это кинетическое уравнение оказывается совпадающим по структуре с кинетическим уравнением, предложенным из феноменологических соображений в /5/, однако в /5/ не содержится явного вида матричных элементов.

В § 5 рассмотрены некоторые приложения кинетической теории взаимодействующих волн к оценке величины турбулентных пульсаций, возникающих при распаде осцилляторной структуры ударной волны. Показано, что ширина осцилляторной структуры из-за возникновения турбулентных пульсаций сокращается и становится порядка

$$L \approx \frac{C_A}{(\mathcal{M}-1)^{1/2} \omega_H}$$

Интересно отметить, что угол между магнитным полем и направлением распространения ударной волны определяет спектр турбулентных пульсаций, но ширина турбулентной области от угла зависит очень слабо.

В интересующей нас области движений удобно пользоваться уравнениями магнитной гидродинамики с "ионной дисперсией" /6/. Их вывод дается в § 2.

## § 2. Основные уравнения магнитной гидродинамики с "ионной дисперсией".

Характерные частоты всех движений, рассматриваемых в этой работе, много меньше электронной ларморовской частоты. Кроме того, мы пренебрегаем отклонениями от квазинейтральности ( $n_i = n_e = n$ ) и считаем плазму достаточно "холодной" ( $\rho \ll H^2/8\pi$ ). При этих условиях уравнения для электронной и ионной компонент плазмы принимают вид:

$$m_i \frac{d\vec{v}_i}{dt} = e\vec{E} + \frac{e}{c} [\vec{v}_i \cdot \vec{H}] + \nu_{ei} m_e \vec{v}_e \quad (2.1)$$

$$m_e \frac{d\vec{v}_e}{dt} = -e\vec{E} - \frac{e}{c} [\vec{v}_e \cdot \vec{H}] - \nu_{ei} m_e \vec{v}_e \quad (2.2)$$

$$\text{rot } \vec{H} = \frac{4\pi ne}{c} (\vec{v}_i - \vec{v}_e) \quad (2.3)$$

$$\frac{\partial \vec{H}}{\partial t} = -c \text{rot } \vec{E} \quad (2.4)$$

$$\frac{\partial n}{\partial t} + \text{div}(\vec{v}_i n) = 0, \quad \text{div} \vec{H} = 0 \quad (2.5)$$

где  $\nu_{ei}$  - эффективная частота столкновений электронов с ионами. Исключая теперь  $\vec{E}$  из (2.1)-(2.2) и (2.1)-(2.4) и подставляя  $\vec{v}_e$  из (2.3) в (2.1), получим следующую систему уравнений (при этом предполагается, что  $\nu_{ei} \ll \omega_{He}$ ):

$$\frac{d\vec{V}}{dt} \equiv \frac{\partial \vec{V}}{\partial t} + (\vec{V} \cdot \vec{\sigma}) \vec{V} = \frac{1}{4\pi nm} [\text{rot } \vec{H} \cdot \vec{H}] \quad (2.6)$$

$$\frac{\partial \vec{H}}{\partial t} = \text{rot} [\vec{V} \cdot \vec{H}] + \frac{c^2}{4\pi\sigma} \Delta \vec{H} - \frac{mc}{e} \text{rot} \frac{\partial \vec{V}}{\partial t} \quad (2.7)$$

$$\frac{\partial n}{\partial t} + \text{div}(\vec{n} \vec{V}) = 0, \quad \text{div} \vec{H} = 0 \quad (2.8)$$

Здесь и в дальнейшем  $V_i, m_i$  обозначены через  $V, m$ , а электропроводность  $\sigma$  выражается через частоту столкновений  $\nu_{ei}$  соотношением:

$$\sigma = \frac{n e^2}{m_e \nu_{ei}} \quad (2.9)$$

Уравнения (2.6)-(2.8) представляют собой систему основных уравнений разреженной плазмы, пригодную для описания движений с частотами сравнимыми и большими  $\omega_H = \omega_{He}$  - ионной ларморовской частоты. Область ее применимости определяется неравенствами

$$\omega \ll (\omega_H \cdot \omega_{He})^{1/2}, \quad \omega \ll \omega_{ci} = \left( \frac{4\pi n e^2}{m_i} \right)^{1/2} \quad (2.10)$$

Система (2.6)-(2.8) отличается от уравнений обычной магнитной гидродинамики холодной плазмы последним членом в уравнении (2.7), который становится малым при частотах много меньших  $\omega_H$ . Этот член описывает характерные дисперсионные эффекты вблизи  $\omega_H$  и поэтому систему (2.6)-(2.8) можно называть уравнениями "магнитной гидродинамики с ионной дисперсией".

Линеаризация этих уравнений приводит к дисперсионному уравнению вида

$$\omega_{z,2} = \frac{C_A}{2} \left( \sqrt{(k_x k_y)^2 + \frac{C_A^2 k_y^2 k_z^2}{\omega_H^2}} \pm \sqrt{(k_x k_y)^2 + \frac{C_A^2 k_y^2 k_z^2}{\omega_H^2}} \right) \quad (2.11)$$

где  $C_A$  - альфеновская скорость, магнитное поле предполагается направленным вдоль оси  $Y$ , а волновой вектор  $\vec{k}$  лежит в плоскости  $XY$ ,  $k^2 = k_x^2 + k_y^2$ . Область применимости этого дисперсионного уравнения определяется условиями (2.10). Соответственно, оно эквивалентно дисперсионной формуле (3.56) работы /7/.

Малые возмущения магнитного поля и скорости ( $\vec{h}, \vec{v}$ ) связаны между собой соотношениями:

$$h_y = -\frac{k_x}{k_y} h_x, \quad h_z = i \frac{C_A^2}{\omega_H} \frac{\omega k^2}{\omega^2 - k_y^2 C_A^2} h_x, \quad (2.12)$$

$$v_x = \frac{C_A^2 k_x^2}{\omega k_y H} h_x, \quad v_y = 0, \quad v_z = \frac{C_A^2 k_y}{\omega H} h_z$$

§ 3. Дифференциальное уравнение, описывающее структуру.

В этом параграфе удобно выбрать систему координат так, чтобы ось  $X$  была направлена в направлении движения плазмы перед фронтом ударной волны, а плоскость  $XY$  проходила через направление напряженности  $\vec{H}$  перед фронтом. В системе, где фронт покоятся, величины  $n$ ,  $\vec{V}$  и  $\vec{H}$  будут зависеть только от  $x$ . Из уравнений непрерывности (2.8) получаем

$$n V_x \equiv j = \text{const}, \quad H_x \equiv H_0 = \text{const} \quad (3.1)$$

При нашем выборе системы координат граничные условия при  $x \rightarrow -\infty$  будут иметь вид

$$V_{1x} = U_1, \quad V_{1y} = V_{1z} = 0 \quad (3.2)$$

$$H_{1y} = H_1, \quad H_{1z} = 0 \quad (3.3)$$

( $V_{1x}, H_{1y}, V_{1z}, H_{1z}$  и т.д. - предельные значения соответствующих величин при  $x \rightarrow -\infty, +\infty$ , соответственно). Учитывая (3.1)-(3.3) и одномерность движения из основных уравнений (2.6), (2.7) легко получить

$$V_x = U_1 - \frac{H_y^2 + H_z^2 - H_1^2}{8\pi\mu_j} \quad (3.4)$$

$$V_y = \frac{H_0}{4\pi\mu_j} (H_y - H_1) \quad (3.5)$$

$$V_z = \frac{H_0 H_z}{4\pi\mu_j} \quad (3.6)$$

$$V_y H_0 - V_x H_y + \frac{c^2}{4\pi\sigma} H_y' + \frac{mc}{e} V_x V_z' = -U_1 H_1 \quad (3.7)$$

$$V_z H_0 - V_x H_z + \frac{c^2}{4\pi\sigma} H_z' - \frac{mc}{e} V_x V_y' = 0 \quad (3.8)$$

Из этих уравнений следуют, прежде всего, предельные соотношения, связывающие величины с обеих сторон фронта ударной волны, т.е. соотношения для скачков на "разрыве"; из (3.5), (3.7) и (3.6)-(3.8) вытекает ( $H_2 = H_{2y}$ ,  $U_2 = V_{2x}$ ):

$$\frac{H_0^2}{4\pi\mu_j} (H_2 - H_1) = U_2 H_2 - U_1 H_1 \quad (3.9)$$

$$\left( \frac{H_0^2}{4\pi\mu_j} - U_2 \right) H_{2z} = 0 \quad (3.10)$$

Из (3.9), (3.10) следует, что  $H_{2z}$  может быть отличным от нуля только при условии  $U_2 = U_1 = H_0^2 / 4\pi\mu_j$ . Это соответствует скачку вращательного типа, который мы здесь рассматривать не будем. Поэтому можно считать, что

$$H_{2z} = 0, \quad V_{2z} = 0 \quad (3.11)$$

Последнее равенство следует из (3.6).

Из (3.11), (3.5), (3.7), (3.8) легко получить

$$U_1 = \frac{H_0^2}{4\pi\mu_j} + \frac{H_2^2 + H_1 H_2}{8\pi\mu_j} \quad (3.12)$$

$$U_2 = \frac{H_0^2}{4\pi\mu_j} + \frac{H_1 H_2 + H_2^2}{8\pi\mu_j} \quad (3.13)$$

$$V_{2y} = \frac{H_0 (H_2 - H_1)}{4\pi\mu_j} \quad (3.14)$$

Заметим, что соотношения между предельными величинами на разрыве (3.11)-(3.14) совпадают с соответствующими уравнениями магнитной гидродинамики при //8/. Таким образом, учет ионной дисперсии не приводит к изменениям условий на разрыве. Это связано с тем, что дополнительные члены, описывающие дисперсию (члены  $mc/e$  в (3.7), (3.8)) содержат производные и обращаются в нуль при  $x \rightarrow \pm\infty$ . Однако, структура разрыва определяется именно этими членами.

Заметим также, что условия эволюционности //9/ приводят к неравенству

$$U_1 > U_2 \quad (3.15)$$

Из (3.12), (3.13) тогда вытекает, что поперечная составляющая магнитного поля после прохождения волны усиливается

$$H_2 > H_1 \quad (3.16)$$

Подставляя (3.4)-(3.6) в (3.7), (3.8), получим

$$\frac{H_y^2 + H_z^2 - H_1^2}{8\pi\mu_j} H_y - U_0 (H_y - H_1) + \frac{c^2}{4\pi\sigma} H_y' + \frac{H_0 c V_x}{4\pi\mu_j e U_1} H_z' = 0, \quad (3.17)$$

$$\left( \frac{H_y^2 + H_z^2 - H_1^2}{8\pi\mu_j} - U_0 \right) H_z + \frac{c^2}{4\pi\sigma} H_z' - \frac{H_0 c V_x}{4\pi\mu_j e U_1} H_y' = 0, \quad (3.18)$$

где обозначено

$$U_0 = U_1 - \frac{H_0^2}{4\pi\mu_j} = \frac{(H_1 + H_2) H_2}{8\pi\mu_j} \quad (3.19)$$

Как и в //1/ мы ограничимся исследованием слабых ударных волн, т.е. будем считать, что

$$U_1 - U_2 \ll U_1 \quad (3.20)$$

Только в этом случае можно пренебречь перепадом газокинетического давления по сравнению с магнитным, а также считать, что электропроводность  $\sigma$  (2.9) приблизительно постоянна внутри фронта волны. Благодаря (3.20) мы можем заменить в последних членах (3.17), (3.18)  $V_x$  на  $U_1$ . В (3.18) можно также пренебречь членом  $\frac{c^2}{4\pi\sigma} H_z'$  по сравнению с последним, поскольку частота столкновений удовлетворяет условию

$$\nu_{ec} \ll \omega_{He} = \frac{eH}{m_e c} \quad (3.21)$$

Учитывая граничные условия для  $H_z$  ( $H_z \rightarrow 0$  при  $x \rightarrow \pm\infty$ ), легко убедиться, что можно опустить  $H_z^2$  в первых членах (3.17) и (3.18). После этих пренебрежений система (3.17), (3.18) сводится к следующему уравнению:

$$A \frac{d^2 H}{dx^2} \left[ \left( 1 - \frac{H^2 H_z'}{8\pi\mu_j U_0} \right) \frac{dH}{dx} \right] - B \frac{dH}{dx} - \frac{H^2 - H_1^2}{8\pi\mu_j U_0} H + H - H_1 = 0 \quad (3.22)$$

$$\mathcal{A}^2 = \left( \frac{eH_0}{m_e c} \right)^2 \frac{c^4}{\alpha_e^4 u_0^2}, \quad \beta = \frac{c^2}{4\pi m_e u_0} \quad (3.23)$$

Здесь и в дальнейшем обозначено  $H_y = H$

Приступим к решению уравнения (3.22). Введем обозначения

$$1 + \frac{H_1^2}{8\pi m_e j u_0} = \alpha^2 \quad (3.24)$$

$$H_2^2 + H_1 H_2 + H_1^2 = 8\pi m_e j u_0 \alpha = \gamma^2.$$

Тогда (3.22) примет вид:

$$\mathcal{A}^2 \alpha^2 \frac{d}{dx} \left[ \left( 1 - \frac{H^2}{\gamma^2} \right)^{-1} \frac{dH}{dx} \right] - \beta \frac{d^2 H}{dx^2} + \alpha^2 H \left( 1 - \frac{H^2}{\gamma^2} \right) + H_1 = 0 \quad (3.25)$$

Для решения этого уравнения удобно перейти к новой независимой переменной

$\chi = x(u)$ , так что

$$\frac{du}{dx} = 1 - \frac{H^2}{\gamma^2} \quad (3.26)$$

Откуда следует

$$\frac{dH}{du} = \left( 1 - \frac{H^2}{\gamma^2} \right)^{-1} \frac{dH}{dx} \quad (3.27)$$

Подстановка (3.26), (3.27) в (3.25) приводит это уравнение к виду

$$\frac{d^2 H}{du^2} - \beta \frac{dH}{du} + dH - \frac{H_1}{\mathcal{A}^2 \alpha^2 \left( 1 - \frac{H^2}{\gamma^2} \right)} = 0 \quad (3.28)$$

$$\beta = \frac{B}{\mathcal{A}^2 \alpha^2}, \quad d = 1/\mathcal{A}^2 \quad (3.29)$$

Для решения этого уравнения можно применить наглядную аналогию, предложенную ранее в /1/, а именно, это есть уравнение движения частицы (роль координаты играет  $H$ , а времени  $-u$ ) в эффективной потенциальной яме вида

$$V(H) = \frac{1}{(2\mathcal{A})^2} \left[ H^2 - H_1^2 - \frac{\gamma H_2}{\alpha^2} \ln \frac{(1+H/\gamma)(1-H/\gamma)}{(1-H/\gamma)(1+H/\gamma)} \right] \quad (3.30)$$

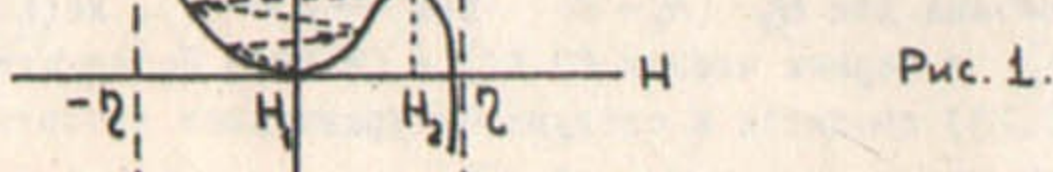


Рис. 1.

с отрицательным "трением"  $-\beta$ . График этого потенциала представлен на рис.1. Минимум имеет место в точке  $H_1$ , а максимум в точке  $H_2$ . Благодаря отрицательному трению "равновесие" в точке  $H_1$  неустойчиво и "движение", начинающееся в точке  $H_1$ , заканчивается в точке  $H_2$ . Характер "движения" может носить периодический или апериодический характер в зависимости от соотношения между коэффициентом "трения"  $\beta$  и длиной дисперсии  $\mathcal{A}$ . В достаточно плотной плазме, когда число столкновений и, следовательно, коэффициент  $\beta$  велик, т.е. при условии

$$\beta > \frac{2\alpha}{\mathcal{A}} \left( 1 - \frac{3H_1^2}{\gamma^2} \right)^{1/2} \quad (3.31)$$

рост магнитного поля внутри фронта имеет апериодический характер и при

$$\beta > \frac{2\alpha}{\mathcal{A}} \left( 1 - \frac{3H_2^2}{\gamma^2} \right)^{1/2} \quad (V_{ei} \gg \sqrt{\frac{eH_0}{m_e c}} \left( 1 - \frac{3H_2^2}{\gamma^2} \right)^{1/2}) \quad (3.32)$$

совпадает с известным гидродинамическим профилем, определяемым магнитной вязкостью. Соответственно этому положение "равновесия"  $H = H_1$  на фазовой плоскости является особой точкой типа "узел" (рис.2а). В разреженной плазме с достаточно малым числом столкновений (условие обратное (3.32)):

$$V_{ei} \ll \quad (3.33)$$

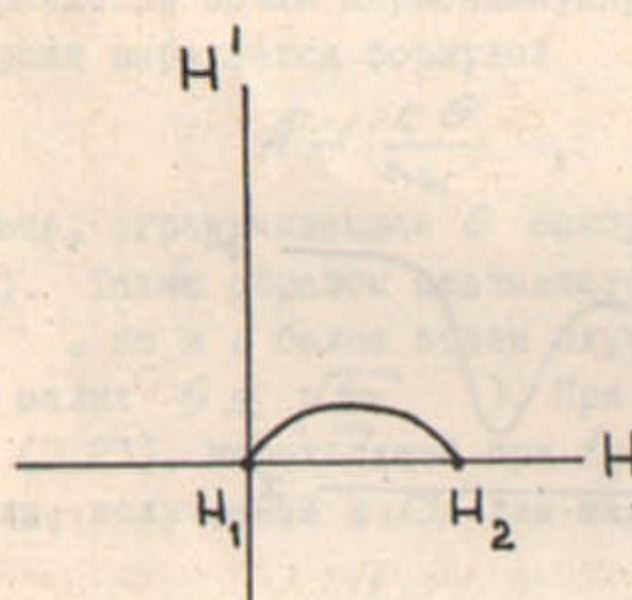


Рис. 2а

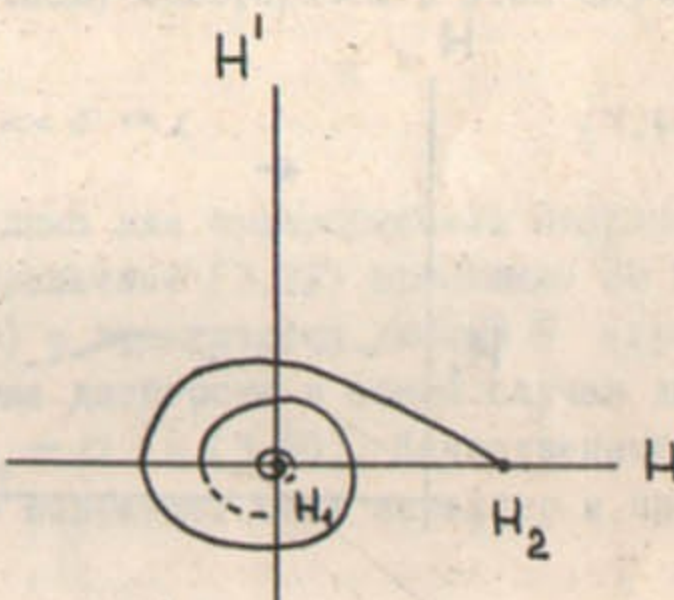


Рис. 2б

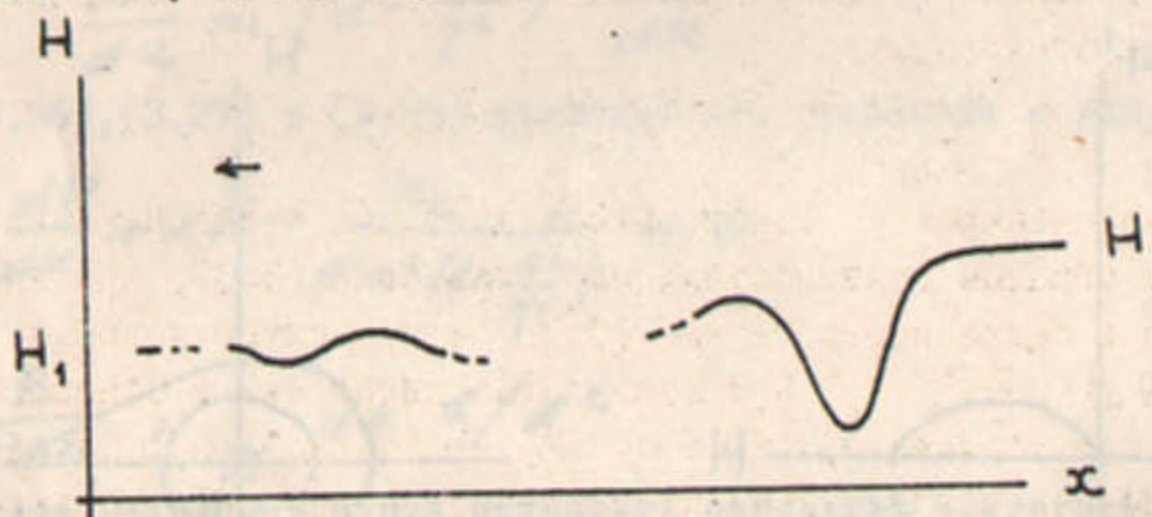
особая точка  $H = H_2$  становится "фокусом" (рис.20).

Характер особых точек на фазовой плоскости и общий ход фазовых кривых, разумеется, не меняется при переходе от переменной  $\mathcal{U}$  к переменной  $x$ , ибо

$$H'_x = H'_u \left(1 - \frac{H^2}{\gamma^2}\right)$$

причем  $1 - \frac{H^2}{\gamma^2} > 0$ . Поэтому все сказанное и рисунки (2а, б) можно также считать относящимся к фазовой плоскости ( $H, H'_x$ ).

Отсюда вытекает следующий ход профиля фронта ударной волны (рис.3). Профиль начинается с малых осцилляций, переходящих в серию уединенных волн "разрежения". Последние постепенно преводят магнитное поле к значению  $H \rightarrow H_2$ <sup>x</sup>. Магнитное поле внутри фронта достигает значений меньших, чем в невозмущенной плазме. Общая картина профиля ударной волны является перевернутой по отношению к профилю, полученному в /1/ для случая ударной волны, распространяющейся поперек магнитного поля, где фронт начинается с уединенных волн "сжатия", переходящих в малые осцилляции. Причиной этого обращения является противоположный характер закона дисперсии, определяющей структуру фронта. Если для случая волны, распространяющейся перпендикулярно магнитному полю, дисперсия определяется инерцией электронов и  $\omega/k$  убывает с ростом  $k$ , то в нашем случае  $\omega/k$  растет с ростом  $k$  (см./2/, стр.93 и /3/).



Рассмотрим более детально осцилляции в передней части профиля фронта. Полагая в (3.25)  $H = H_1 + h$ , где  $h \ll \gamma \sim H_2$  (подчеркнем, что мы не требуем малости  $h$  по сравнению с  $H_1$ , так как  $H_1$  может быть весьма малым по сравнению с  $H_2$ ), получим:

$$\gamma^2 a^2 h'' - \beta h' + a^2 / \left(1 - \frac{3H_1^2}{\gamma^2}\right) h = 0 \quad (3.34)$$

x) Характерный размер последних уединенных волн порядка длины дисперсии  $A$ .

Это уравнение имеет решение

$$h \sim e^{\delta x} \cos kx \quad (3.35)$$

$$\gamma = \frac{\beta}{2} = \frac{B}{2A^2 a^2} \quad (3.36)$$

$$k = A^{-1} \sqrt{1 - \frac{3H_1^2}{\gamma^2}} \quad (3.37)$$

Эти формулы определяют волновое число и декремент затухания осцилляций в передней части фронта ударной волны.

Рассмотрим теперь случай, когда

$$H_2 - H_1 \ll H_2 \quad (3.38)$$

(продольная же составляющая  $H_0$  может быть любой). Используя (3.38), (3.24) легко привести основное уравнение (3.25) к виду:

$$A^2 H'' - \frac{H^2 - H_2^2}{8\pi m_e u_0} H + H - H_1 - B \frac{dH}{dx} = 0 \quad (3.39)$$

Это уравнение было получено ранее в /3/ для случая, когда ударная волна распространяется почти перпендикулярно магнитному полю, причем в этом случае длина дисперсии выражается формулой

$$A \approx \frac{C \theta}{\omega_{ci}}, \quad \sqrt{\frac{m_e}{m_i}} \ll \theta \ll 1 \quad (3.40)$$

(Условие, ограничивающее  $\theta$  снизу, необходимо для пренебрежения инерцией электронов). Таким образом оказывается, что уравнение (3.39) применимо не только при малых  $\theta$ , но и в более общем случае (3.38) с практически любыми  $\theta$  (кроме исчезающие малых  $\theta \lesssim \sqrt{\frac{m_e}{m_i}}$ ). При этом длина дисперсии в общем случае дается формулой (3.23), переходящей при  $\operatorname{tg} \theta = H_0/H_2 \rightarrow 0$  в (3.40). Качественный же ход профиля, полученный в /3/ для малых углов сохраняет свой характер и при больших  $\theta$ .

#### § 4. Кинетическое уравнение для волн.

Система уравнений (2.6)-(2.8) для не слишком больших отклонений величин от равновесных может быть записана в виде:

$$i \frac{\partial \vec{\varphi}}{\partial t} + \hat{H}_0 \vec{\varphi} + \hat{H}_1 \{ \vec{\varphi}, \vec{\varphi} \} = 0 \quad (4.1)$$

где  $\vec{\varphi}$  — вектор состояния, представляемый в виде столбца из компонент скорости  $\vec{v}$ , возмущения магнитного поля  $\vec{h}$  и плотности  $n$ ;

$\hat{H}_0$  — некоторый линейный оператор с действительными собственными значениями;

$\hat{H}_1$  — билинейный векторный оператор.

$\hat{H}_0$  можно представить в виде матрицы, элементами которой являются дифференциальные операторы,  $\hat{H}_1$  в виде вектора-столбца из своих компонент.

Для волн малой амплитуды при пренебрежении нелинейным членом получаем уравнение:

$$i \frac{\partial \vec{\varphi}}{\partial t} + \hat{H}_0 \vec{\varphi} = 0 \quad (4.2)$$

Это уравнение имеет собственные решения вида  $\varphi_k(\vec{r}, t) = \varphi_k e^{-i(\omega_k t - \vec{k} \cdot \vec{r})}$ , где частота  $\omega_k$  — действительна в силу эрмитовости оператора  $\hat{H}_0$ . Вектор  $\varphi$  можно разложить по собственным векторам оператора  $\hat{H}_0$ .

$$\varphi = \sum_k C_k^{(0)} \varphi_k e^{-i(\omega_k t - \vec{k} \cdot \vec{r})} + C_k^{(0)*} \varphi_k^* e^{i(\omega_k t - \vec{k} \cdot \vec{r})} \quad (4.3)$$

где  $C_k^{(0)}$ ,  $C_k^{(0)*}$  — комплексные амплитуды гармоник с волновым вектором  $\vec{k}$  и частотами  $\omega_k$ ;  $-\omega_k$ , соответственно, при отсутствии взаимодействия между отдельными волнами.

При получении кинетического уравнения основную роль играет следующий постулат: фазы амплитуд различных волн  $\alpha_k = \arg C_k$  распределены совершенно хаотически. Это утверждение нужно понимать следующим образом. Мы предполагаем, что волны (4.3) появляются в результате развития какой-либо неустойчивости (в дальнейшем рассматривается конкретный случай так называемой распадной неустойчивости подробно исследованной ранее в [4]). В течение некоторого времени после своего возникновения из "источника неустойчивости" фазы отдельных  $C_k$  разумеется коррелированы. Нелинейное взаимодействие волн, описываемое вторым членом в (IV.1) приводит, однако, к ослаблению корреляции. Это ослабление корреляции происходит тем быстрее, чем больше гармоник появилось в результате развития неустойчивости <sup>x)</sup>.

Постулат хаотичности фаз означает, что корреляция между фазами  $C_k$  полностью исчезает за время малое по сравнению с временем изменения  $|C_k|^2$  (т.е. энергий отдельных волн) благодаря нелинейному взаимодействию между гармониками. Благодаря этому, при выводе кинетического уравнения мы можем применить усреднение по фазам (в смысле усреднения по ансамблю совокупностей фаз различных  $C_k$ ), т.е.

$$C_k^{(0)} C_{k'}^{(0)*} = |C_k^{(0)}|^2 \delta_{kk'}, \quad \delta_{kk'} = \begin{cases} 1 & k' = k \\ 0 & k' \neq k \end{cases} \quad (4.4)$$

Мы разделяем плазму на медленно меняющийся фон и быстроосциллирующую часть, представляющую собой распространяющиеся волны в плазме. Энергия этих волн в плазме в приближении хаотических фаз есть

$$\mathcal{E} = \sum_k E_k, \quad E_k = |C_k|^2 \left\{ \rho_0 \frac{|\vec{v}_k|^2}{z} + \frac{|\vec{h}_k|^2}{8\pi} \right\} \quad (4.5)$$

Нормируя вектор состояния  $\varphi_k$  согласно условию

$$\rho_0 \frac{|\vec{v}_k|^2}{z} + \frac{|\vec{h}_k|^2}{8\pi} = \omega_k^2 \quad (4.6)$$

мы можем интерпретировать квадрат модуля амплитуды волны  $n_k = |C_k|^2$  как число квазичастиц с энергией  $\omega_k$ . Ясно, что сохраняется энергия и импульс фона и квазичастиц вместе взятых. Кроме того, как можно показать в квазиклассическом приближении, когда фон меняется медленно, сохраняется

<sup>x)</sup> По интенсивности этих гармоник, разумеется, должны быть достаточно малы для того, чтобы можно было применять теорию возмущений.

адиабатический инвариант  $n_k = E_k / \omega_k$  (энергия осциллятора, деленная на частоту) для каждой квазичастицы [5], т.е. полная производная

$$\frac{\partial}{\partial t} \left( \frac{E_k}{\omega_k} \right) \equiv \frac{\partial n_k}{\partial t} = 0 \quad (4.7)$$

Изменение числа квазичастиц  $n_k$  в данном состоянии из-за столкновений их между собой описывается нелинейным членом  $H_1 \{ \varphi, \varphi \}$  в уравнении (4.1). Если этот нелинейный член мал, то можно воспользоваться теорией возмущений. В разложении (4.3) теперь следует добавить к вектору состояния  $\varphi_k$  ортогональную составляющую  $\varphi'_k$ , возникающую из-за нелинейного взаимодействия.

Как будет видно из дальнейшего (см. (4.9))  $\varphi'_k$  является малой первого порядка, если амплитуда  $C_k$  — малая первого порядка. Таким образом, решение, учитывающее взаимодействие между гармониками ищется в виде:

$$\varphi = \sum_k C_k(t) (\varphi_k + \varphi'_k) e^{-i(\omega_k t - \vec{k} \cdot \vec{r})} + \text{к.с.} \quad (4.8)$$

Подставляя (4.8) в уравнение (4.1), получаем с точностью до малых второго порядка

$$-[\omega_k + H_0(\vec{k})] C_k \varphi'_k = i \frac{\partial C_k}{\partial t} \varphi_k + \sum_{\vec{k}' + \vec{k}'' = \vec{k}} C_{k'} C_{k''} H_1(\vec{k}') \{ \varphi_k, \varphi_{k''} \} e^{-i(\omega_k + \omega_{k''} - \omega_k)t} \quad (4.9)$$

Условим разрешимости системы (4.9) для определения  $\varphi'_k$  является ортогональность правой части к решению сопряженного уравнения

$$\tilde{\varphi}_k(\omega_k + H_0(k)) = 0 \quad (4.10)$$

где  $\tilde{\varphi}_k$  — вектор-строка.

Умножая (4.9) скалярно на  $\tilde{\varphi}$  слева, получаем

$$\left( \tilde{\varphi}_k, \left\{ i \frac{\partial C_k}{\partial t} \varphi_k + \sum_{\vec{k}' + \vec{k}'' = \vec{k}} C_{k'} C_{k''} H_1(\vec{k}') \{ \varphi_k, \varphi_{k''} \} e^{-i(\omega_k + \omega_{k''} - \omega_k)t} \right\} \right) = 0$$

Переписывая это в виде

$$\frac{\partial C_{\vec{k}}}{\partial t} = -i \sum_{\vec{k}' + \vec{k}'' = \vec{k}} V_{\vec{k} \vec{k}' \vec{k}''} C_{\vec{k}'} C_{\vec{k}''} e^{-i(\omega_k + \omega_{k''} - \omega_k)t} \quad (4.11)$$

где

$$V_{\vec{k} \vec{k}' \vec{k}''} = \frac{(\tilde{\varphi}_{\vec{k}}, H_1 \{ \varphi_{\vec{k}'}, \varphi_{\vec{k}''} \})}{(\tilde{\varphi}_{\vec{k}}, \varphi_{\vec{k}})}$$

получаем динамическое уравнение (4.11) в  $\vec{k}$ -представлении.

Вид матричного элемента  $V_{\vec{k} \vec{k}' \vec{k}''}$  и решение  $\tilde{\varphi}_k$  однородного сопряженного к (4.9) уравнения для конкретного случая системы (2.6)–(2.8) даны в приложении I.

Для определения  $C_k(t)$  в момент времени  $t$  воспользуемся теорией возмущений. Из (4.11) получим

$$C_{\vec{k}}(t) = C_{\vec{k}}^{(0)} + C_{\vec{k}}^{(1)} + C_{\vec{k}}^{(2)} + \dots$$

### § 5. Критерий распадной неустойчивости.

В рамках формализма, развитого в предыдущем параграфе, можно очень просто сформулировать критерий распадной неустойчивости, рассматривавшейся ранее в [4]. А именно, пусть по плазме распространяется волна с частотой  $\omega_{\vec{k}}$  и волновым вектором  $\vec{k}$ . Тогда возмущения в виде двух волн, частоты  $\omega_{\vec{k}'}, \omega_{\vec{k}''} > 0$  и волновые вектора  $\vec{k}', \vec{k}''$  которых удовлетворяют условиям

$$\vec{k}' = \vec{k} - \vec{k}'' \quad , \quad \omega_{\vec{k}'} = \omega_{\vec{k}} - \omega_{\vec{k}''} \quad (5.1)$$

нарастают во времени. Действительно из (4.11) и (4.14) имеем систему двух уравнений для амплитуд  $C_{\vec{k}'}$  и  $C_{\vec{k}''}$

$$\frac{\partial C_{\vec{k}'}}{\partial t} = -i V_{\vec{k}' \vec{k}'' \vec{k}} C_{\vec{k}''}^{(o)} C_{\vec{k}'}^{(o)},$$

$$\frac{\partial C_{\vec{k}''}}{\partial t} = -i V_{\vec{k}'' \vec{k}'' \vec{k}} C_{\vec{k}''}^{(o)} C_{\vec{k}'}^{(o)}.$$

Т.к. амплитуды возмущений  $C_{\vec{k}'}$  и  $C_{\vec{k}''}$  малы, то амплитуду волны  $C_{\vec{k}}^{(o)}$  можно считать постоянной  $\frac{\partial C_{\vec{k}}}{\partial t} \sim C_{\vec{k}}^{(o)} \sim 0$ . Решение системы ищем в виде  $\exp i \omega t$  и получаем инкремент неустойчивости

$$\gamma^2 = |V_{\vec{k}' \vec{k}'' \vec{k}}| / |C_{\vec{k}''}^{(o)}| / |C_{\vec{k}'}^{(o)}|^2 > 0 \quad (5.2)$$

Если возмущения такие, что  $\omega_{\vec{k}'} > \omega_{\vec{k}''} > 0$  и выполняются распадные условия

$$\vec{k}' = \vec{k} + \vec{k}'' \quad , \quad \omega_{\vec{k}'} = \omega_{\vec{k}} + \omega_{\vec{k}''} \quad , \quad (5.3)$$

то имеем систему уравнений для определения амплитуд малых возмущений

$$\frac{\partial C_{\vec{k}'}}{\partial t} = -i V_{\vec{k}' \vec{k}'' \vec{k}} C_{\vec{k}''}^{(o)} C_{\vec{k}'}^{(o)},$$

$$\frac{\partial C_{\vec{k}''}}{\partial t} = -i V_{\vec{k}'' \vec{k}'' \vec{k}} C_{\vec{k}''}^{(o)} C_{\vec{k}'}^{(o)} = -i V_{\vec{k}' \vec{k}'' \vec{k}} C_{\vec{k}''}^{(o)} C_{\vec{k}'}^{(o)}.$$

Для решения вида  $\exp i \omega t$  получаем

$$\gamma^2 = - |V_{\vec{k}' \vec{k}'' \vec{k}}| / |C_{\vec{k}''}^{(o)}| / |C_{\vec{k}'}^{(o)}|^2 < 0 \quad (5.4)$$

т.е. волна устойчива.

Итак, при "распадной" неустойчивости могут появляться лишь волны с частотой меньшей, чем исходная.

### § 6. Влияние турбулентности на структуру фронта ударной волны.

В этом параграфе мы разберем вопрос о том, насколько велико влияние турбулентных пульсаций, возникающих из-за распадной неустойчивости, на ламинарную осцилляторную структуру ударных волн. Прежде всего запишем из (4.7), (4.15) и (5.2) полное кинетическое уравнение для волн:

$$\frac{\partial n_k}{\partial t} + \frac{\partial n_k}{\partial x} \frac{dx}{dt} + \frac{\partial n_k}{\partial k_x} \frac{dk_x}{dx} \frac{dx}{dt} = \left( \frac{\partial n_k}{\partial t} \right)_s + 2 v n_k \quad (6.1)$$

Здесь изменение числа волн в об'еме мы приводили к изменению их числа при столкновениях и приращению из-за распадной неустойчивости. Производную определяем из условия, что частота в системе координат движущейся с ударной

$$C_k^{(s)} = - \sum_{k'} C_k^{(o)} C_{k''}^{(o)} \int_0^t V_{kk'k''}(t') dt',$$

$$C_k^{(s)} = - \sum_{k', k''} \sum_{q', q''} C_k^{(o)} C_{q''}^{(o)} \int_0^t dt' \int_0^{t'} dt'' V_{kk'k''}(t') / V_{k'q'q''}(t'') -$$

$$- \sum_{k', k''} \sum_{q', q''} C_k^{(o)} C_{q'}^{(o)} C_{q''}^{(o)} \int_0^t dt' \int_0^{t'} dt'' V_{kk'k''}(t') / V_{k'q'q''}(t'') \quad (4.12)$$

где  $V_{kk'k''}(t) = V_{kk'k''} e^{-i(\omega_{k''}-\omega_k)t}$ ,  $V_{kk'k''} \neq 0$  при  $\vec{k} = \vec{k}' + \vec{k}''$ .

$C_k^{(o)}$  — от времени не зависит и отвечает решению при отсутствии взаимодействия между гармониками.

Изменение числа квазичастиц  $|C_k(t)|^2 - |C_k^{(o)}|^2$ , усредненное по фазам амплитуд  $C_k^{(o)}$  с помощью (4.4) есть с точностью до членов второго порядка:

$$|C_k(t)|^2 - |C_k^{(o)}|^2 = |C_k^{(o)}|^2 (C_k^{(o)} C_{k''}^{(o)} + C_k^{(o)} C_{k''}^{(o)}) \quad (4.13)$$

Используя свойства матричного элемента

$$V_{\vec{k} \vec{k}' \vec{k}''} = V_{\vec{k}'' \vec{k}' \vec{k}}, \quad V_{\vec{k} \vec{k}'' \vec{k}'} = V_{\vec{k}'' \vec{k} \vec{k}'},$$

$$V_{\vec{k} \vec{k}' \vec{k}''} = -V_{\vec{k}'' \vec{k}' \vec{k}}, \quad V_{\vec{k} \vec{k}'' \vec{k}'} = -V_{\vec{k}'' \vec{k} \vec{k}'}, \text{ при } \omega_{\vec{k}}, \omega_{\vec{k}'}, \omega_{\vec{k}''} > 0 \quad (4.14)$$

$$|\int_0^t V_{\vec{k} \vec{k}' \vec{k}''}(t') dt'|^2 = t \cdot 2\pi / V_{\vec{k} \vec{k}' \vec{k}''} / \delta(\omega_{\vec{k}''} - \omega_{\vec{k}} - \omega_{\vec{k}'})$$

при  $t \rightarrow \infty$

получаем изменение числа квазичастиц в единицу времени из-за столкновений.

$$\left( \frac{\partial n_k}{\partial t} \right)_s = 4\pi \sum_{\vec{k}' \vec{k}''} / V_{\vec{k} \vec{k}' \vec{k}''} / \left\{ (n_{k'} n_{k''} - n_k n_{k'} - n_k n_{k''}) \delta(\omega_{k'} + \omega_{k''} - \omega_k) \delta(\vec{k}' + \vec{k}'' - \vec{k}) \right. \\ \left. + 2(n_{k'} n_{k''} + n_k n_{k''} - n_k n_{k'}) \delta(\omega_{k''} - \omega_{k'} - \omega_k) \delta(\vec{k}'' + \vec{k}' - \vec{k}) \right\} \quad (4.15)$$

Свойства (4.14) можно проверить с помощью выражения для  $V_{kk'k''}$ , приведенного в приложении I. В уравнении (4.15) суммирование идет только по тем  $\vec{k}' \vec{k}''$ , где  $\omega_{\vec{k}'}, \omega_{\vec{k}''} > 0$ . Первый член в (4.15) описывает рождение квазичастичь с энергией  $\omega_k$  в результате слияния квазичастичь с энергиями  $\omega_{\vec{k}'}, \omega_{\vec{k}''}$  и обратный процесс распада. Второй член в (4.15) описывает распад квазичастичь с энергией  $\omega_k$  на две квазичастичь с энергиями  $\omega_{\vec{k}'}, \omega_{\vec{k}''}$  и обратный процесс слияния.

Уравнение (4.15) совпадает по форме с кинетическим уравнением, предложенном в [5], однако явный вид  $V_{kk'k''}$  в [5] отсутствует.

Любопытно отметить, что  $(\partial n_k / \partial t)_s$  обращается в нуль при

$$n_k = \frac{T}{\omega_k} \quad (4.16)$$

где  $T'$  — эффективная "температура" газа квазичастичь (в единицах энергии), (4.16) является не чем иным, как распределением Релея-Джинса.

волной  $\omega_k + k_x u$  есть постоянная, а  $\frac{dx}{dt} = \frac{\partial \omega}{\partial k_x} + u$  - групповая скорость волн в этой же системе координат. ( $u$  - скорость потока плазмы относительно ударной волны). В работе /5/ использовано уравнение (6.1), но без источника волн, для построения структуры ударной волны в турбулентном режиме. В качестве источника энергии турбулентных пульсаций авторы пытаются использовать изменение частоты в системе покоя плазмы (а следовательно и пропорциональной ей энергии) при прохождении их через поле потока с переменной скоростью. На самом деле, рассматривая "квазичастицы" движущиеся вместе с ударной волной, необходимо оперировать с энергией в системе координат, связанной с ударной волной. Но эта энергия, как можно показать из уравнения

$$\frac{\partial n_k}{\partial t} + \frac{\partial n_k}{\partial x} \left( \frac{\partial \omega_k}{\partial k_x} + u \right) - k_x \frac{du}{dx} \frac{\partial n_k}{\partial k_x} = \left( \frac{\partial n_k}{\partial t} \right)_S \quad (6.1a)$$

использованного в /5/, естественно сохраняется, т.к. в медленно меняющемся поле потока сохраняется число квазичастиц  $n_k$  и их "энергия"  $\omega_k + k_x u$ , а в столкновениях выполняется закон сохранения энергии  $\sum n_k (\omega + k_x u)$ . Итак, источника энергии волн в такой схеме нет и возникает вопрос о его получении. Таким источником может служить распадная неустойчивость осцилляторной структуры ударной волны.

В качестве примера рассмотрим распространение слабой ударной волны поперек сильного магнитного поля  $\frac{H^2}{B} \gg P$ . В этом случае ее осцилляторную структуру можно представить себе как волну с частотой  $\omega_0$  и волновым вектором  $k_0 / \perp$

$$\omega_0 = k_0 C_A M, \quad k_0 = \sqrt{\frac{1}{2}(M-1)} \sqrt{\frac{m_i}{m_e}} \frac{\omega_H}{C_A}, \quad (6.2)$$

$M$  - число Маха.

Если  $M-1 \gg \frac{m_e}{m_i}$ , то частота волны  $\omega_0$  значительно больше ионной ларморовской частоты  $\omega_H$ . В этом случае ударная волна неустойчива по отношению к рождению волн. Распадные условия (5.1) записываются в виде (при малом  $k_{1y}$ ):

$$k_0 C_A [1 + (M-1)] = k_1 C_A (1 + \frac{k_{1y} C_A^2}{\omega_H^2}) + k_2 C_A$$

$$k_0 = k_{1x} + k_{2x}, \quad k_{1y} = -k_{2y}, \quad k_{1y} \ll \frac{\omega_H}{C_A} \quad (6.3)$$

Эти условия можно выполнить только для  $k_{1y} < \sqrt{M-1} \omega_H / C_A$ .

Рождающиеся при распаде низкочастотные волны (с частотами  $\sim k_{2y} C_A \sim \sqrt{M-1} \omega_H$ ) распространяются под большими углами к направлению распространения ударной волны и быстро сносятся потоком. Волны же с частотами  $\omega \gg \omega_H$  распространяются почти в одном направлении с ударной волной (их угловой разброс порядка  $\frac{k_{2y}}{k_0} \sim \sqrt{\frac{m_e}{m_i}}$ ) и поэтому почти не сносятся. При столкновениях этих волн друг с другом рождаются низкочастотные волны и благодаря сносу последних происходит диссипация энергии этой группы волн. Из формулы (П.4) приложения I определяем квадрат матричного элемента этого процесса

$$|V_{\vec{k} \vec{k}' \vec{k}''}|^2 = \frac{\omega \omega' \omega''}{\rho V_A^2} \left( 1 + \frac{k_x''}{2 k''} \right)^2 \quad (6.4)$$

где использовано, что  $\omega'' \sim k_y C_A \sim \sqrt{M-1} \omega_H \ll \omega_H$ . Отсюда мы можем оценить изменение числа этих волн из-за столкновений:

$$\left( \frac{\partial N}{\partial t} \right)_S \approx 2\pi \frac{\sum \overline{\omega_k^2} \omega'' N_k}{\frac{1}{2} \rho C_A^2} N \approx \frac{N}{\tau} \quad (6.5)$$

где  $\tau \approx \frac{2}{\pi \bar{\beta}_N \omega''}$  - время столкновения волн.

$N_k$  - число высокочастотных волн с частотой  $\omega_k \approx \omega_0$ .

$$\bar{\beta} = \frac{1}{4} \frac{\sum N_k \omega_k}{H^2 / 8\pi} - \text{отношение энергии волн к энергии магнитного поля.}$$

Т.к. число рождающихся в единицу времени волн  $\sim \bar{\beta} N \sim \left( \frac{n \omega_0}{H^2 / 8\pi} \right)^{1/2} \omega_0 N \sim (M-1) \omega_0 N$ , то разумно предположить, что вся энергия ламинарной ударной волны перекачивается в энергию волн в группе, т.е.

$$\bar{\beta} \approx (M-1)^2 \quad (6.6)$$

Приравнивая изменение числа волн  $N$  в об"еме к уходу их (6.5) из-за столкновений, получаем оценку для распределения волн в пространстве (пользуемся системой координат, связанной с пакетом)

$$\left( \frac{\partial \omega_k}{\partial k_x} + u \right) \frac{\partial N}{\partial x} \approx \left( \frac{\partial N}{\partial t} \right)_S$$

или

$$(M-1) C_A \frac{\partial N}{\partial x} \approx \frac{\pi}{2} \bar{\beta} \omega'' N$$

т.е. изменение плотности можно аппроксимировать экспонентой

$$N \sim e^{-x/L}, \quad \text{где } L \approx \frac{2}{\pi} \frac{C_A}{(M-1)^{1/2} \omega_H} \quad (6.7)$$

На самом деле само  $\bar{\beta} \sim N$  и мы имеем неэкспоненциальный характер распределения волн.

Если ударная волна распространяется под углом к магнитному полю  $H_0$  большим, чем  $(\frac{m_e}{m_i})^{1/2}$ , то становится существенной инерция ионов. В этом случае частота ее осцилляторной структуры  $\omega_0 \leq \omega_H$  и, как можно показать с помощью (5.2) и (П.4), она неустойчива и распадается на волны, бегущие под самими различными углами к направлению распространения ударной волны. Поэтому большая часть энергии, перекочевавшей в результате распада в турбулентные пульсации, сносится потоком.

Ввиду малости энергии турбулентных пульсаций  $\bar{\beta}$  время их столкновений очень велико и поэтому основным процессом, уменьшающим число пульсаций, является их снос. Приравнивая прирост пульсаций из-за распада и их снос, получаем распределение пульсаций в пространстве

$$2 \bar{\beta} n_k \approx \frac{\partial n_k}{\partial x} C_A$$

Из формул (П.4) и (5.2) имеем  $\bar{\beta} = \frac{1}{2} (M-1) \bar{\omega}$  (для распространения ударной волны поперек поля  $\bar{\omega} \sim \sqrt{M-1} \omega_H$  см. (3.37)). Отсюда

$$\frac{(M-1)^{3/2} \omega_H}{4} n_k = \frac{\partial n_k}{\partial x} C_A, \quad n_k \sim e^{-x/L} \quad (6.8)$$

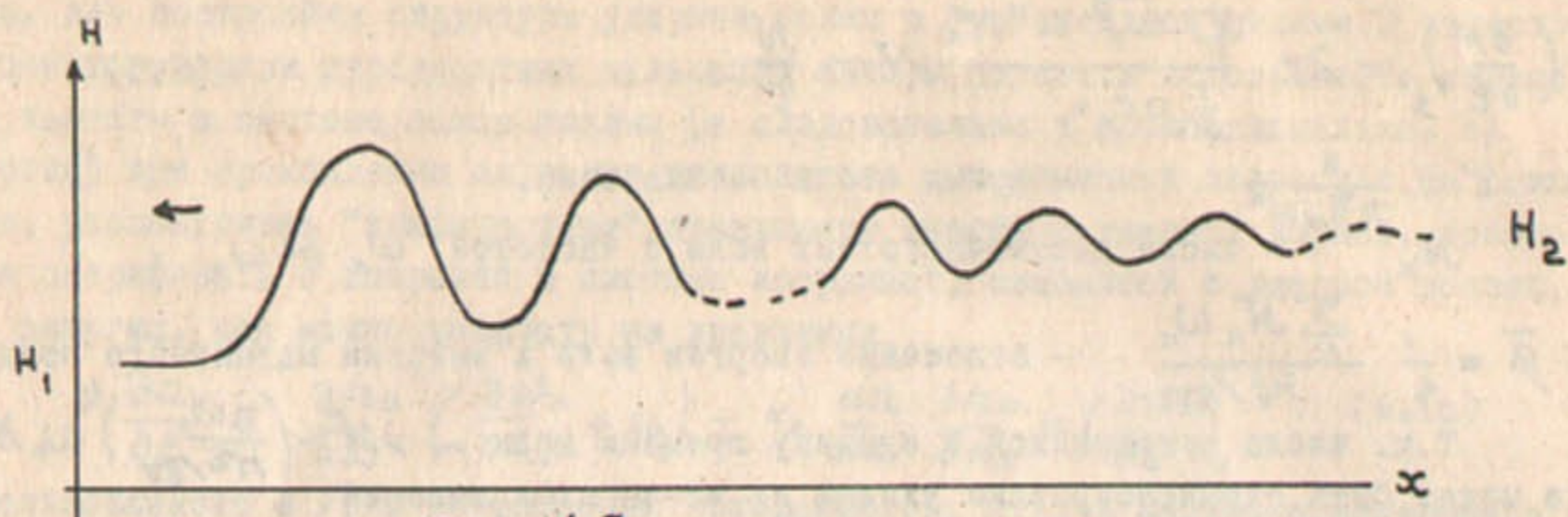


Рис. 4.5.

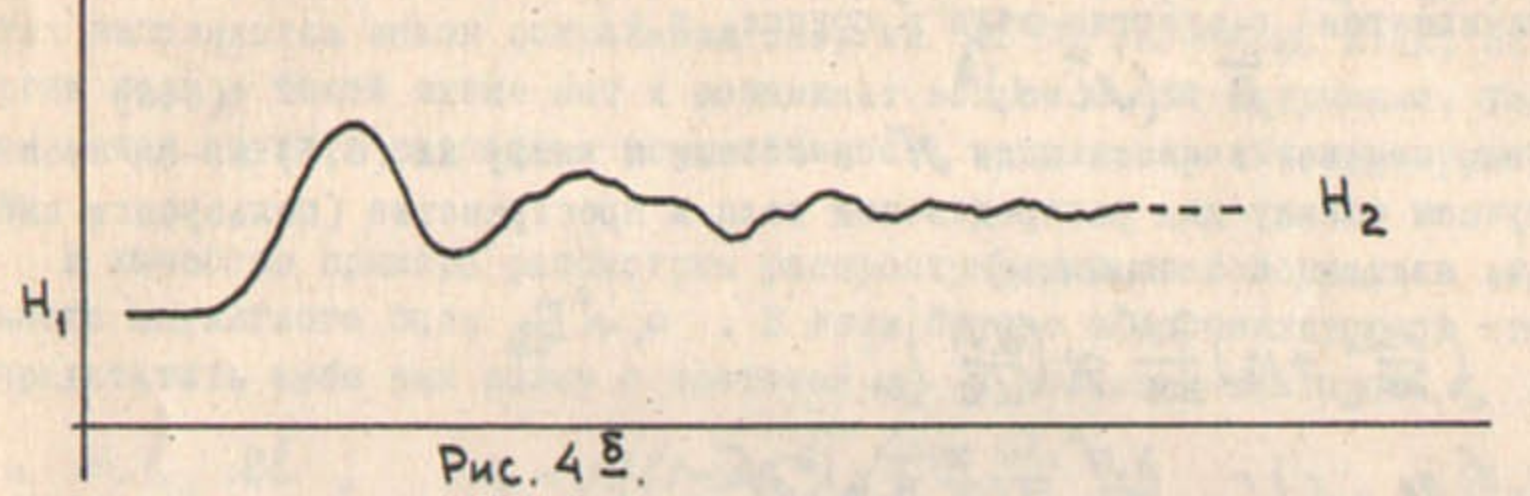


Рис. 4.6.

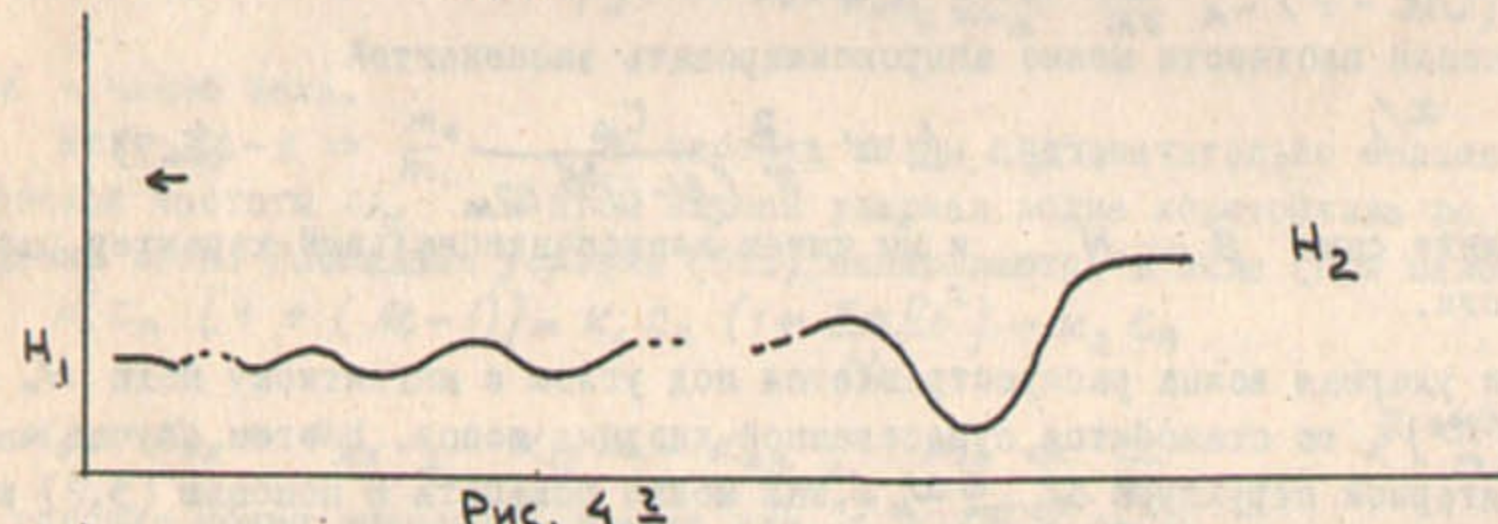


Рис. 4.7

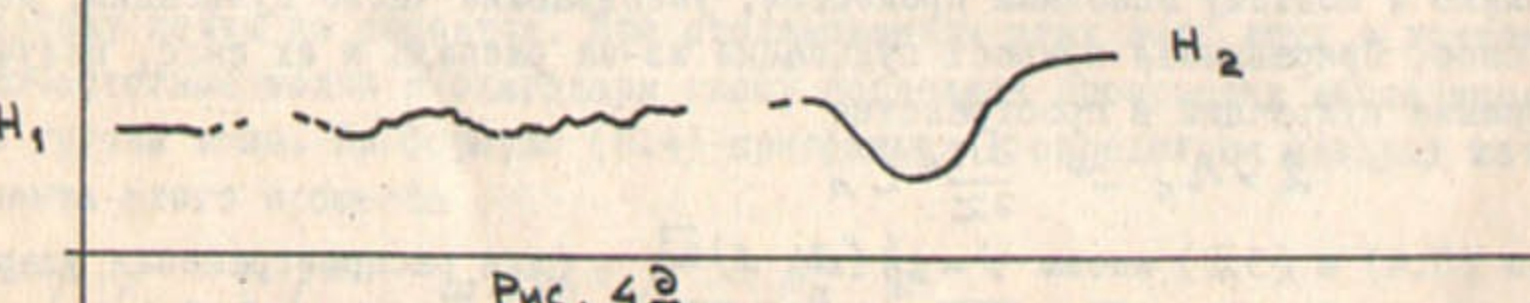


Рис. 4.8

Качественный профиль изменений магнитного поля в ламинарном и турбулентном случаях (4.5, 6 волны, распространяющиеся перпендикулярно  $\vec{H}$ ); (4.7, 8 волны под углом к  $\vec{H}$ ).

$$\text{где } L = \frac{4 C_A}{(\mathcal{M}-1)^{3/2} \omega_H}$$

Итак, при учете распадной неустойчивости ударной волны длина осциллирующей структуры не успевает дорастить до своего значения  $C_A/\omega_{ei}$  ( $\omega_{ei}$  - частота электрон-ионных столкновений) в "бесстолкновительной" плазме, т.к. по мере появления осцилляций в ударной волне начинает проявляться распад. Ширина ударной волны оказывается малочувствительной к направлению распространения волны и определяется характерными размерами  $L$ , приведенными в (6.7) и (6.8). Частоты же турбулентных пульсаций по порядку величины совпадают с частотой осцилляций ламинарной структуры и существенно зависит от угла. Для наглядности приведем рисунки профиля ударной волны в обоих этих случаях в бесстолкновительной плазме и при учете распада (Рис. 4).

Авторы выражают искреннюю благодарность Р.З.Сагдееву за стимулирующие дискуссии и ценные советы.

#### Приложение I.

Система (4.1) для конкретных уравнений магнитной гидродинамики с "ионной дисперсией" (2.1), (2.3) примет вид:

$$\begin{aligned}
 -\omega_k c_k \vec{v}_k' - c_k \frac{[[\vec{k} h_k] H_0]}{4\pi n_0 m} &= i \frac{\partial c_k}{\partial t} \vec{v}_k - \sum_{\vec{k}'=\vec{k}''+\vec{k}''} c_{\vec{k}'} c_{\vec{k}''} \{ (\vec{v}_{\vec{k}}, \vec{k}'') \vec{v}_{\vec{k}''} - \\
 &- \frac{i}{4\pi n_0 m} [[\vec{k}' h_{k'}] (\vec{h}_{k''} - \frac{n_{k''}}{n_0} H_0)] \} A; \\
 -\omega_k c_k \vec{h}_k' - c_k [\vec{k} [\vec{v}_k H_0]] - i \frac{mc}{e} \omega_k c_k [\vec{k}' \vec{v}_{k'}] &= \\
 = i \frac{\partial c_k}{\partial t} (\vec{h}_k + i \frac{mc}{e} [\vec{k} \vec{v}_k]) + \sum_{\vec{k}'+\vec{k}''=\vec{k}} c_{\vec{k}'} c_{\vec{k}''} \{ [\vec{k} [\vec{v}_{\vec{k}}, \vec{h}_{k''}]] - \\
 &- i \frac{mc}{e} (\vec{v}_{\vec{k}}, \vec{k}'') [\vec{k} \vec{v}_{\vec{k}''}] \} A; \\
 -\omega_k c_k h_k' + n_0 c_k (\vec{k} \vec{v}_k) &= i \frac{\partial c_k}{\partial t} n_k' - \sum_{\vec{k}'+\vec{k}''=\vec{k}} c_{\vec{k}'} c_{\vec{k}''} n_{k'}' (\vec{v}_{k''} \cdot \vec{k}) A; \\
 A &= e^{-i(\omega_{k'} + \omega_{k''} - \omega_k)t}
 \end{aligned} \quad (I.1)$$

Легко проверить, что необходимо выписывать лишь компоненты по осям  $x$  и  $z$  уравнения (2.8). Третье уравнение эквивалентно уравнению  $\operatorname{div} \vec{h} = 0$ , т.е.  $h_z = -\frac{k_y}{k_x} h_y$ . При равных нулю правых частях (I.1) даст нам уравнения  $[-\omega_k - H_0(k)] \varphi_k = 0$

для определения собственного вектора  $\varphi_k$ . В матричном виде оно имеет вид:

$$\left( \begin{array}{cccccc} -\omega & 0 & 0 & -\frac{k_y^2 c_A^2}{k_y H_0} & 0 & 0 \\ 0 & -\omega & 0 & 0 & 0 & 0 \\ 0 & 0 & -\omega & 0 & -\frac{k_y^2 c_A^2}{H_0} & 0 \\ -k_y H_0 & 0 & 0 & -\omega & i \frac{k_y^2 c_A^2}{\omega_H} & 0 \\ 0 & 0 & -k_y H_0 & -i \frac{k_y^2 c_A^2}{\omega_H} & -\omega & 0 \\ k_x H_0 & k_y H_0 & 0 & 0 & 0 & -\omega \end{array} \right) \quad (\text{II.2})$$

Из (II.2) имеем формулы (2.II) и (2.I2).

Выписывая уравнение (4.I0) в явном виде с помощью (II.2) получаем решение сопряженного уравнения

$$\tilde{\Psi} = (\eta_1, \eta_2, \eta_3, \eta_4, \eta_5, \eta_6) \quad (\text{II.3})$$

$$\text{где } \eta_2 = 0, \eta_6 = 0, \eta_3 = -\frac{\omega_H}{i\omega} \left( \frac{\omega^2}{k^2 c_A^2} - 1 \right) \eta_1, \eta_4 = -\frac{\omega}{k_y H_0} \eta_1$$

$$\eta_5 = \frac{\omega_H}{i k_y H_0} \left( \frac{\omega^2}{k^2 c_A^2} - 1 \right) \eta_1$$

Умножая правую часть (II.1) на это решение и выражая  $U_x, U_y, h_x, h_y, v_x$  через  $h_z$ , получаем явное выражение для матричного элемента  $V_{RR'RR''}$

$$V_{RR'RR''} = i \frac{h_{k'z} h_{k''z}}{H_0 h_{kz}} \frac{\frac{k_y \omega_H}{k_y' k_y''}}{2 \left[ \left( 1 - \frac{k_y^2 c_A^2}{\omega^2} \right) + \frac{k_y^2 c_A^2}{\omega^2} \left( \frac{\omega^2}{k^2 c_A^2} - 1 \right) \right]} \times \\ \times \left\{ A'A'' \left[ K_x (1 - B) + K_x \frac{\omega'}{\omega''} B'' + K_x' \frac{\omega''}{\omega'} B' + K_x'' \frac{\omega \omega''}{k^2 c_A^2} + K_x' \frac{\omega \omega'}{k^2 c_A^2} \right] + \right. \\ \left. + K_y'' \frac{B}{A''} \left( \frac{K_x}{k_y} - \frac{\omega}{\omega''} \frac{K_x'' k_y'' c_A^2}{\omega_H^2} \frac{1}{B} + \frac{K_x'' k_y'' c_A^2}{\omega \omega''} - \frac{K_y'' k_x' c_A^2}{\omega \omega'} - \right. \right. \\ \left. \left. - \frac{K_y'' \omega'}{K_y \omega''} \frac{[\vec{R}' \vec{E}'']_z}{k^2 z} - \frac{\omega'}{\omega} \frac{[\vec{R}'' \vec{E}']_z}{k^2 z} \right) + K_y' \frac{B}{A'} \left( \frac{K_x}{k_y} - \frac{\omega}{\omega'} \frac{K_x' k_y' c_A^2}{\omega_H^2} \frac{1}{B} + \right. \right. \\ \left. \left. + \frac{K_y' k_y' c_A^2}{\omega \omega'} - \frac{K_y' k_y'' c_A^2}{\omega''} - \frac{K_y'}{K_y} \frac{\omega''}{\omega'} \frac{[\vec{R} \vec{E}']_z}{k^2 z} - \frac{\omega''}{\omega} \frac{[\vec{R}' \vec{E}'']_z}{k^2 z} \right) \right\} \quad (\text{II.4})$$

где  $A = 1 - \frac{k_y^2 c_A^2}{\omega^2}, B = \frac{\omega^2}{k^2 c_A^2} - 1$  и соответствующие величины с одним и двумя индексами отличаются заменой  $\omega, \vec{R}$  на  $\omega', \vec{R}'$  и  $\omega'', \vec{R}''$ .

### Литература

1. Р.З.Сагдеев. МТФ, ЗI, II85, 1961.
- 1a. C. Gardner, H. Goertzel, H. Grad, C. Morawetz, M. Rose a. H. Rubin, Report N 374, Geneva Conference, 1958; L. Davies, R. Lust, A. Schlüter, Zs. f. Naturforschg. 13B, 916 (1958); J. Adlam, J. Allen, Phil. Mag., 3, 448, 1958; R. Sagdeev, Uppsala conference, 1959; C. Morawetz, Preprint, 1959; P.L. Buer, H. Huerwitz, Jr. R.W. Kille, Preprint, 1961.
2. А.А.Веденов, Е.Н.Зелихов, Р.З.Сагдеев. Ядерный синтез (Nuclear Fusion), I, 82, 1961.
3. Р.З.Сагдеев. Диссертация. Новосибирск, 1962 г.
4. В.Н.Ораевский, Р.З.Сагдеев, МТФ, в печати.
5. M. Camac, A. Kantrowitz, M. Litvak, R. Patrick a. H. Petschek., Preprint, Salzburg, 1961.
6. В.И.Карпман, Р.З.Сагдеев. МТФ, в печати.
7. В.Д.Шафранов. Электромагнитные волны в плазме. Препринт ИАЗ, №.1960.
8. Л.Д.Ландау, Е.М.Лифшиц. Электродинамика сплошных сред. Москва, 1958.
9. Р.В.Половин, УФН, 72, 3, 1960.

Ответственный за выпуск Г.М.ЗАСЛАВСКИЙ  
Подписано к печати 26.УІ-1962г.МНО 1763  
Формат бумаги 60 x 84 = I/8  
Тираж 100 экз. Заказ \_\_\_\_\_ бесплатно.

---

Отпечатано на ротапринте в Институте Гидродинамики  
СО АН СССР.